

Table 2. Endurance limit at high temperature.

Groups	No.	Endurance limit σ_w kg/mm ²		Hardness (HRC) after heat treatment
		at 700°C	at 750°C	
QN7-AM	1	—	16	31~30
QN7-1	2	24	18	32~31
QN7-2	3	26	19	33~32

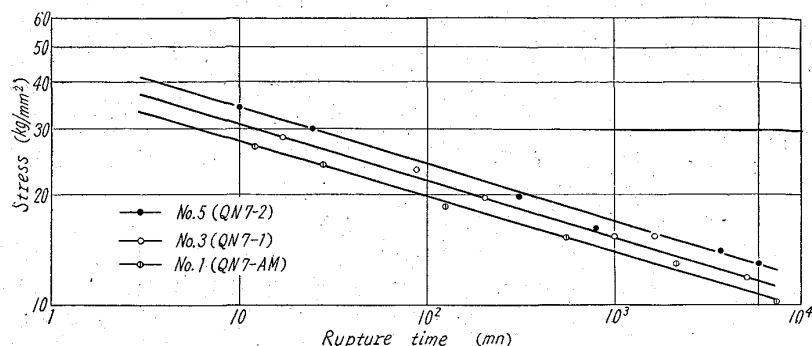


Fig. 2. Rupture time-stress curve of each steel.

著な上昇は消耗電極アーク炉溶解の影響を示したものと考えられる。

(5) 高温疲労およびクリープラブチュア強度

No. 1, 3, 5 を 3 グループの代表として 700°C あるいは 750°C における強度特性を調査するため、小野式回転曲げ疲労試験およびクリープラブチュア試験を行なつた。熱処理条件は前記高温引張試験の場合と同一でありテストピースは何れも全長 80mm 平行部径 6mm の平滑試片である。Table 2 に疲労耐久限の値を示すが通常の大気材に比し Mo, V, Ti 添加およびさらに W, Cb 添加の消耗電極アーク炉溶製材は夫々 1 割強および 2 割近くの耐久限の増加が認められた。

クリープラブチュア特性については Fig. 2 に試験結果を図示した。これらも疲労同様 1, 3, 5 の順で強度向上が有意差的に現われ、添加元素効果が確認された。

(6) 酸化鉛耐食試験

No. 1, 4, 5 のチャージを 5mm 径 × 30mm 試片に加工、前述の熱処理を行なつた後、900°C, 1000°C, 1100°C の溶融 PbO のバス中に 10 mn~20 mn 浸し腐食重量減の比較を行なつた。消耗電極アーク材の有意差の確認は今後の検討にまちたいが平均として耐食性について優位にある結果が示された。

IV. 結 言

エンジンバルブ用材の代表鋼 21-4N 系の性能向上を意図して数種の元素を若干量添加した後真空あるいは N₂ ガス気流消耗電極真空アーク炉溶製を行なつた。N₂ ガス雰囲気溶解は真空時に比し脱窒量の軽減、作業容易化、鋼塊肌向上が見られ、またこれらは大気溶解材に比し弁素材の表面品質を改善し、苛酷な熱間加工に対してはるかに安定した加工性が統計的に立証された。Mo, W, V, Ti, Cb などの添加元素はこれらの化合物の無応力下の析出時効が大気条件に比し遅れると考えられるが、熱間強度特性としては脱窒量をカバーして有効に作用し、消耗電極真空アーク条件と相俟つて、伸び、絞り

などの可塑性因子はかなり改善された。これらの共通した理由として大気材に比しての微細ガス欠陥、介在物などの量、分散、形状の差異に基づくものと判断される。なお耐磨性その他の特性については目下試験中である。

669, 187, 046, 517-982:669
14, 018, 255

(113) 消耗電極式真空アーク炉溶製ダイス鋼の特性について

大阪特殊製鋼 62293

大橋久道・○坂上高志

本田技術研究所 大沢 恒

Characteristics of Die Steels Melted in a Consumable Electrode Vacuum Arc Melting Furnace. 1413 ~ 1415

Hisamichi OHASHI, Takashi SAKAJŌ and Makoto Ōzawa.

I. 緒 言

最近各種機械工業の急速な発展に伴ない、冷間プレスあるいはアセットなどの加工技術の向上と共に高性能の冷間ダイス鋼および熱間ダイス鋼が要求されており、苛酷な条件のもとで高信頼度が必要となつて來た。しかしながら従来の大気中で溶製したダイス鋼ではこれらの要求を十分満足しないため、真空溶解により性能の向上をはかり冷間および熱間ダイス鋼の代表的な鋼種について、真空溶製材および大気溶製材について特性を調査し比較検討した。

II. 供 試 材 料

冷間ダイス鋼として D11, D12, 熱間ダイス鋼として D61W について大気溶製材および同一母材より溶解した真空溶製材の特性試験を行なつた。供試材はいづれも 500 kg 高周波炉で溶製した 200 kg 鋼塊および 110 kg 鋼塊を用いた。230 kg 鋼塊は 50 mm f に鍛伸(鍛伸比 14.0)後焼鈍して大気材の各試験に供し、真空材の試料は上記 110 kg 鋼塊 2 本を用いて消耗電極真空アーク炉で 200 kg 鋼塊を溶製し 50 mm f に鍛伸(鍛伸比 12.5)後焼鈍して用いた。供試材化学成分を Table 1 に示す。

III. 実験結果および考察

(1) 热処理特性

各鋼について焼入および焼戻温度と硬度との関係を求めた結果を Fig. 1 に示す。いづれも大気材および真空材は同様の特性を示しほんど差は認められない。なお顕微鏡組織は多少真空材の方が炭化物の分布、形状が良好な傾向を示している。

(2) 変態点について

熱膨張試験により各鋼の変態点を求めた結果を Table 2 に示す。加熱変態点はいづれも真空材の方が大気材に比較して 20°C ~ 30°C 高く、冷却変態点は低い値を示している。

Table 1. Chemical composition of specimens (%)

Steels	Melting conditions	C	Si	Mn	P	S	Cr	Mo	V	W	Types
D11	V. M. A. M.	1.40 1.41	0.29 0.30	0.43 0.48	0.026 0.026	0.021 0.023	11.85 11.87	0.97 0.99	0.38 0.38	— —	12 Cr-Mo-V (SKD 11)
D12	V. M. A. M.	1.01 1.00	0.30 0.31	0.76 0.82	0.017 0.018	0.017 0.017	5.37 5.35	0.94 0.94	0.36 0.38	— —	5 Cr-Mo-V (SKD 12)
D61W	V. M. A. M.	0.35 0.34	0.75 0.74	0.93 0.98	0.020 0.020	0.016 0.015	5.92 5.96	1.40 1.42	0.49 0.48	1.38 1.38	5 Cr-Mo-V-W

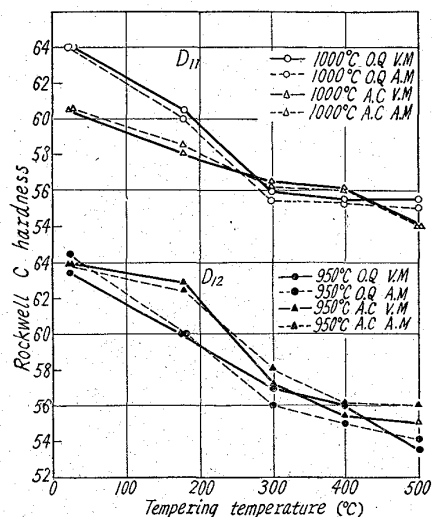
Fig. 1. Relation between tempering and hardness of D₁₁ and D₁₂.

Table 2. Transformation temperature of each steel.

Steels	Melting conditions	Transformation temperature °C		
		Ac ₁	Ac ₃	Ar''
D11	V. M.	860	900	150
	A. M.	830	880	160
D12	V. M.	820	880	160
	A. M.	790	850	170
D61W	V. M.	870	960	240
	A. M.	855	940	260

これは真空材は当然予想されるごとく、ガスその他の不純物が少なく、鋼中におけるこれらの微小欠陥が変態を促進せしめる核の存在確率が少ないとために変態点の遅れが生じたものと考えられる。

(3) 残留オーステナイトの測定

D11, D12について焼入状態および焼戻後の残留オーステナイト量を磁気測定法により測定した。いづれも同一熱処理に対して真空材と大気材は同様の傾向を示し有意差は認められなかつた。

(4) 热處理変形率

D11, D12について焼入、焼戻による変形率を求めた結果をTable 3に示す。試片は22mm φ×10mm φ×10mmのリングとし、それぞれ10コの試片について測定し平均値を求めた。

なお加熱は試片のスケール発生を防ぐためアルゴン気流中で行なつた。真空材と大気材の差は大きく示されていないが、外径、内径、厚さのいづれも真空材の方が変形率が少なく良好な傾向を示している。

(5) 機械的性質

圧壊試験の結果をTable 4に示す。試験片は25mm φ×10mm φ×10mmのリングとし各熱処理に対してそれぞれ10個試験し平均値を求めた。いづれも真空材の方が大気材に比して圧壊値がわづかに大きいようである。

なおD11, D12の衝撃試験の結果は真空材の方が良好な値を示した。

Fig. 2にD61Wの1050°C空冷後580°Cに焼戻した試料について500°C, 600°Cにおける高温機械的性質を示す。引張強さは真空材と大気材はほとんど差が認められないが、伸び、絞りはいづれも真空材の方が大きい値を示している。

高温衝撃値は明らかに真空材の方が良好な結果を示しており、特に横方向の衝撃値に大きな差が認められる。

Table 3. Oimentional changes in quenched and tempered steels.

Steels	Melting conditions	Heat treatment	Change in dimensions (%)		
			Out. diameter	In. diameter	Thickness
D11	V. M.	1000°C, O. Q. 180°C, O. C.	+0.09	-0.18	+0.10
	A. M.	1000°C, O. Q. 180°C, O. C.	+0.13	-0.23	+0.14
D12	V. M.	950°C, O. Q. 180°C, O. C.	+0.11	-0.15	+0.22
	A. M.	950°C, O. Q. 180°C, O. C.	+0.17	-0.20	+0.25

Table 4. Crushing value of D11, D12 steels.

Steels	Melting conditions	Heat treatment	Hardness HRC	Crushing value(kg)
D11	V. M.	1000°C, O. Q. 180°C, O. C.	59.5	2700
	A. M.	1000°C, O. Q. 180°C, O. C.	59.0	2600
	V. M.	1030°C, O. Q. 180°C, O. C.	58.5	2890
	A. M.	1030°C, O. Q. 180°C, O. C.	58.0	2850
D12	V. M.	950°C, O. Q. 180°C, O. C.	58.0	3500
	A. M.	950°C, O. Q. 180°C, O. C.	60.0	3300
	V. M.	980°C, O. Q. 180°C, O. C.	59.0	4100
	A. M.	980°C, O. Q. 180°C, O. C.	59.0	3200

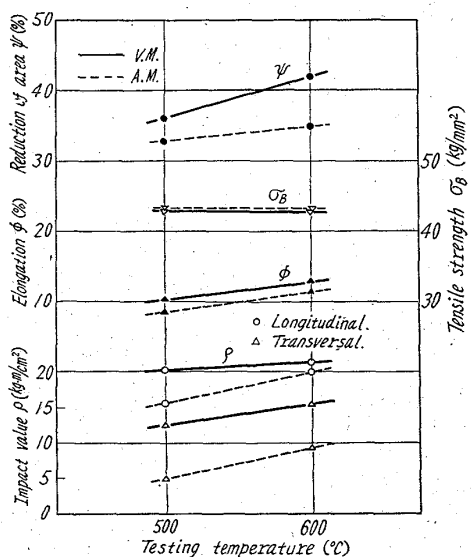


Fig. 2. Mechanical properties of D61W steel at elevated temperature.

これは真空材の方が非金属介在物その他鋼中の微小欠陥による内部切欠効果が少ないとことによるものと考えられる。

次に D61W について 1050°C 空冷後 580°C で焼戻した試料で 400°C および 500°C における回転曲げ疲労試験を行なつた結果真空材の方がわずかに良好な結果を示した。

(6) 実用テスト

D61Wについて耐熱バルブの型打テストを行なつた結果真空材は大気材に比して 50% 以上の耐久力の向上が認められた。

IV. 結 言

冷間ダイス鋼および熱間ダイス鋼の代表的鋼種について性能試験を行ない真空材と大気材の比較を行なつた結果、熱処理硬度特性、引張強さなどについては真空材と大気材の間にはほとんど差は認められないが、熱処理変形率および衝撃試験結果は真空材の方が良好な傾向が見られ実用テストも良好な結果が得られた。

真空材においては大気材に比較して清浄な材質が得られるが内部切欠としては微量ガス欠陥、介在物の量的因素よりもそれらの大きさ、形状、分布などの因子が方向性、展延性、靭性その他機械的性質により大きく影響をおよぼすものと考えられる。したがつて今後これらの因子について究明して行く必要がある。

なお現在早期寿命試験を行ない、フレイキングに対する特性、耐摩耗性などについて検討中である。

以上今後益々加工技術の向上と共に苛酷な条件のもとで使用されるダイス鋼が要求され、しかもそれらの使用時における応力の解明が十分なされていない現状では、出来るだけ信頼度の高い高性能のダイス鋼が望まれる現在、真空溶解法による性能向上の方向を見いだして行くべきではなかろうか。

669.14.018.24:669.14-154.4:669.182
(114) 真空溶解せる軸受鋼の寿命について
光洋精工

工博 前川 良雄・○森原 濱治
関口 秀夫・高野 茂

Life of Bearing Steels Made by
Vacuum Melting. 12284

Dr. Yoshio MAEGAWA, Genji MORIHARA,
Hideo SEKIGUCHI and Shigeru TAKANO.

I. 緒 言 1415~1417

近来寿命向上を目的として真空溶解した軸受鋼の研究が盛んであり、それらによればガス、介在物などが大気溶解材に比べていちじるしく減少し、寿命においても好結果を得ることができると報告されている。

しかし今までの寿命試験はほとんどがニードル試料などによる簡易試験による結果であり、真空溶解法と寿命との関係は明瞭ではない。そこで本研究では実際の軸受を使用し、消耗電極アーク溶解法並びに真空高周波溶解法による軸受鋼の性能向上を確認することとした。なお真空溶解の効果のあらわれ方が製鋼原料の処女性に影響されると考えられたので、普通工程材以外に砂鉄錠 100% 原料としたものについても調査を行なつた。

II. 供 試 材

(A) 消耗電極アーク溶解材

塩基性電気炉にて製作した SUJ 2 材鋼塊大きさ 500 kg の 125¢ のものを 5mm 皮削を行ない、それを真空中にて再溶解した。この再溶解により 200¢ の鋼塊を作り、鍛造にて 100¢ としさらに圧延により 60¢ の棒材にした。真空条件は $10^{-2} \sim 10^{-3}$ mmHg にしたのち Ar ガスを導入し、50 mmHg にてアーク溶解する。溶解時間は 40~50 mn であった。